

# Codes convolutifs et codes concaténés associés

Charly Poulliat

20 octobre 2011

# Plan

- 1 Un exemple : le code (5, 7)<sub>8</sub>
- 2 Représentation générale
- 3 Représentation en treillis
- 4 Décodage MAP
- 5 Turbo-codes parallèles
- 6 Turbo-codes série
- 7 Analyse EXIT charts
- 8 Systèmes à décodage itératif avec concaténation en série



# Introduction : le code (5, 7)<sub>8</sub>

## Notations

- **Relations entrées-sorties en temps** : soit  $u[n]$  la séquence d'entrée, on a alors comme sorties

$$c^{(i)}[n] = u \circledast g^{(i)}[n], \forall i \in \{1, 2\}$$

où  $\circledast$  représente le produit de convolution sur  $GF(2)$ .

- **Représentation polynomiale** :  $c^{(i)}(D) = u(D)g^{(i)}(D), \forall i \in \{1, 2\}$
- **Représentation vectorielle polynomiale** :

$$\underline{c}(D) = [c^{(1)}(D), c^{(2)}(D)] = u(D)[g^{(1)}(D), g^{(2)}(D)] = u(D)G(D)$$

où  $G(D)$  matrice génératrice polynômiale de taille  $k \times n$ .

# Introduction : le code (5, 7)<sub>8</sub>

## Terminaison de codage

- **Troncature** : pas de terminaison particulière du codage. Pour  $K$  bits en entrée, on a émis  $N = K/R$  bits codés.
- **Fermeture de treillis** : On ajoute aux  $K$  bits d'information  $\nu$  bits, dits de fermeture, pour rejoindre l'état 'nul' du registre. Cela entraîne une baisse du rendement  $R$ . Ici,  $R = K/2 * (K + 2)$ .
- **Fermeture circulaire de treillis** : tail-biting

# Codes convolutifs

## Notations

- **Rendement** :  $k$  entrées et  $n$  sorties d'où le rendement  $R = k/n$ .
- **Représentation vectorielle polynomiale** : soient

$$\underline{u}(D) = [u^{(1)}(D), u^{(2)}(D), \dots, u^{(k)}(D)],$$

$$\underline{c}(D) = [c^{(1)}(D), c^{(2)}(D), \dots, c^{(n)}(D)]$$

$$\underline{c}(D) = \sum_{i=1}^k u^{(i)}(D) \underline{g}_i(D)$$

où  $\underline{g}_i(D) = [g_i^{(1)}(D), g_i^{(2)}(D), \dots, g_i^{(n)}(D)]$  et  $g_i^{(j)}(D)$  représente le transfert entre l'entrée  $i$  et la sortie  $j$ .

$$\underline{c}(D) = \underline{u}(D)G(D)$$

où  $G(D)$  matrice génératrice polynômiale de taille  $k \times n$ .

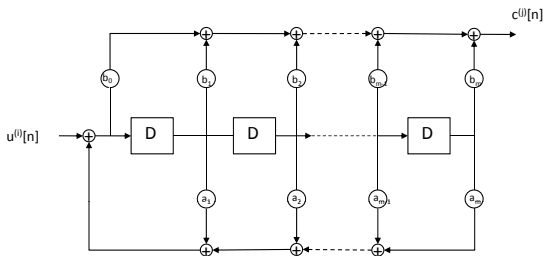
- **Matrice de parité** :  $\underline{c}(D)H^T(D)$  et donc  $G(D)H^T(D) = \mathbf{0}$

# Codes convolutifs

## Notations

- **Code récursif** : certaines relations entrées sorties peuvent être définies par un code récursif

$$g_i^{(j)}(D) = \frac{b_0 + b_1 D + b_2 D^2 + \dots + b_m D^m}{1 + a_1 D + a_2 D^2 + \dots + a_m D^m}$$



**FIGURE:** Implémentation d'un transfert récursif par réalisation d'un filtre récursif à réponse impulsionnelle infinie de Type I.

# Codes convolutifs

## Notations

- Exemple : code récuratif systématique (1, 5/7)<sub>8</sub> de matrice génératrice

$$G(D) = \begin{bmatrix} 1 & 1 + D^2 \\ 1 + D + D^2 \end{bmatrix}$$

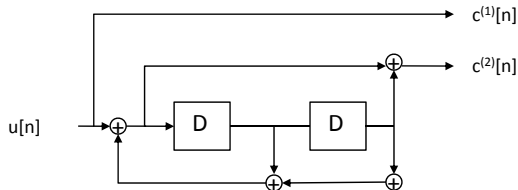
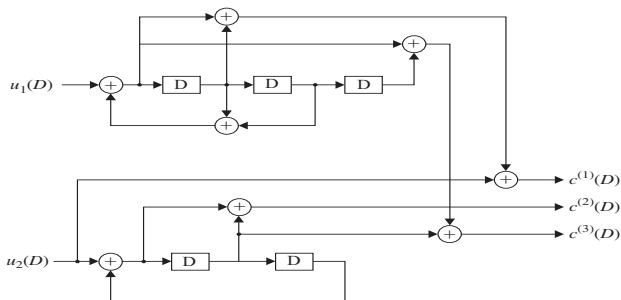


FIGURE: représentation du code récuratif (1,5/7)



# Codes convolutifs

Notations - exemple pour un code rendement  $R = k/n$



$$G(D) = \begin{pmatrix} \frac{1+D}{1+D+D^2} & 0 & \frac{1+D}{1+D^2} \\ 1 & \frac{1}{1+D} & \frac{D}{1+D^2} \end{pmatrix}$$

$$\underline{u}(D) = [u_1(D), u_2(D)], \underline{c}(D) = [c_1(D), c_2(D), c_3(D)]$$

# Codes convolutifs

Modèle d'état et représentation par machine à états finis

- **Représentation par machine à états finis** : pour un code de type  $R = 1/n$ ,

$$\{u_k\} \rightarrow \boxed{\underline{S}n} \rightarrow \{c_k\}$$

où  $c_k = [c_k^{(1)}, c_k^{(2)}, c_k^{(n)}]$  et  $\underline{S}_k$  représente l'état interne du registre à décalage.

- **Représentation fonctionnelle associée** :

- **Equation d'évolution** : passage d'un état à  $\underline{S}_{k-1}$  à  $\underline{S}_k$ .

$$\underline{S}_k = F_1(\underline{S}_{k-1}, u_k)$$

- **Equation d'observation** : génération des sorties observables  $c_k$ .

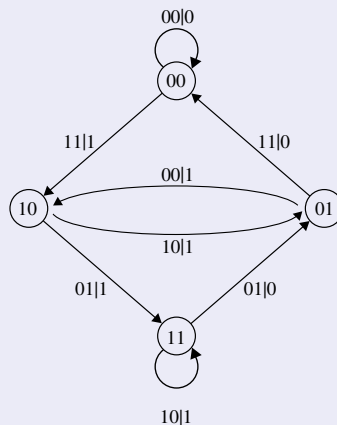
$$c_k = F_2(\underline{S}_{k-1}, u_k)$$

- **Exemple** : Code (7, 5)<sub>8</sub>,  $\underline{S}_k = [u_k, u_{k-1}]$ .

# Codes convolutifs

## Représentation graphique en Diagramme d'Etat

### Code convolutif (7, 5)<sub>8</sub>



# Codes convolutifs

## Représentation graphique en treillis

- **Definition** : représentation graphique du code dans son espace d'état en considérant la dimension temporelle.
  - **Noeuds** : noeuds du graphe associé à un état  $\underline{S}_k$ .
  - **Transitions** : branches entre deux noeuds associées à  $F_1(.)$ .
  - **Étiquettes** : informations portées par les branches ( $u_k, c_k$ ) et données par  $F_2(.)$
- **Propriétés** :
  - Pour un treillis de longueur  $L$ , tout chemin du treillis de  $\underline{S}_0$  à  $\underline{S}_L$  est mot de code obtenu par concaténation des étiquettes  $c_k$  du chemin.
  - Le chemin où tous les  $\underline{S}_k$  sont l'état  $\mathbf{0}$  (représentation binaire naturelle) est le mot de code nul.
  - *Événement minimal* : chemin qui part de l'état  $\underline{S}_k = \mathbf{0}$  et ne revient à cet état que à  $\underline{S}_{k+I}$  pour un certain  $I$ . On lui associe un poids de Hamming grâce aux étiquettes du chemin.
  - $d_{\min}$  est donnée par le poids minimal d'un événement minimal.

# Code convolutif : représentation en treillis

Code  $(7, 5)_8$

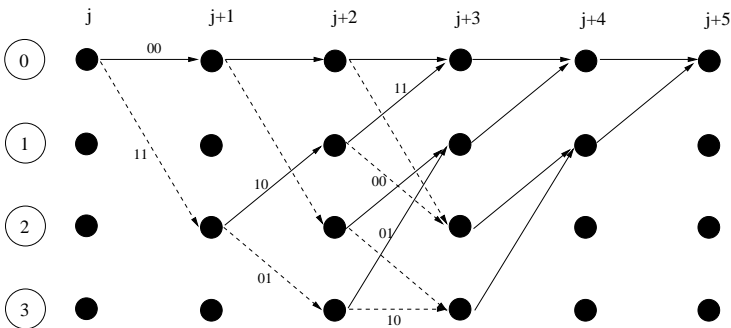


FIGURE: Treillis du code  $(7, 5)$

# Décodage MAP bit

Notations 1/2

## Critère MAP bit

$$\begin{aligned}\hat{u}_n &= \arg \max_{u_n} p(u_n | \mathbf{y}) \\ &= \text{signe}(L(u_n))\end{aligned}\tag{1}$$

avec

- mapping BPSK :  $\{ '0' \leftrightarrow +1, '1' \leftrightarrow -1 \}$ .
- $u_n \in \{-1, +1\}, \forall n \in [1, L]$
- LLR MAP (Log Likelihood Ratio) :

$$L(u_n) = \log \left[ \frac{p(u_n = +1 | \mathbf{y})}{p(u_n = -1 | \mathbf{y})} \right]$$

# Décodage MAP bit

## Notations 2/2

### Critère MAP bit

- Longueur de treillis  $L = K + Nf$  ( $K$  bits d'info. +  $Nf$  bits de fermeture).
- Notations vectorielles :

$$\mathbf{c} = [c_1, c_2, \dots, c_L]$$

(mot de code émis) avec  $c_k = [c_k^{(1)}, c_k^{(2)}, \dots, c_k^{(n_c)}]$

$$\mathbf{y} = [y_1, y_2, \dots, y_L]$$

(mot de code reçu) avec  $y_k = [y_k^{(1)}, y_k^{(2)}, \dots, y_k^{(n_c)}]$  et

$$y_k^{(j)} = c_k^{(j)} + b_k^{(j)}$$

$$\mathbf{y}'_k = [y_k, y_{k+1}, \dots, y_{l-1}, y_l]$$

# Décodage MAP par bit

## Algorithme BCJR 1

### LLR MAP revisité

$$\begin{aligned}
 L(u_n) &= \log \left[ \frac{p(u_n = +1 | \mathbf{y})}{p(u_n = -1 | \mathbf{y})} \right] \\
 &= \log \left[ \frac{\sum_{\mathcal{S}^+} p(s_{n-1} = s', s_n = s, \mathbf{y})}{\sum_{\mathcal{S}^-} p(s_{n-1} = s', s_n = s, \mathbf{y})} \right] \quad (2)
 \end{aligned}$$

### Notations

- Ensemble des transitions associées à  $u_n = +1$  :

$$\mathcal{S}^+ = \{(s', s) \text{ où } (s_{n-1} = s') \mapsto (s_n = s) | u_n = +1\}$$

- Ensemble des transitions associées à  $u_n = -1$  :

$$\mathcal{S}^- = \{(s', s) \text{ où } (s_{n-1} = s') \mapsto (s_n = s) | u_n = -1\}$$



# Décodage MAP par bit

## Algorithme BCJR 2

### Factorisation de $p(s', s, \mathbf{y})$

$$p(s_{n-1} = s', s_n = s, \mathbf{y}) = \alpha_{n-1}(s') \gamma_n(s', s) \beta_n(s) \quad (3)$$

(4)

$$\alpha_n(s) = p(s_n = s, \mathbf{y}_1^n) \quad (5)$$

$$\beta_n(s) = p(\mathbf{y}_{n+1}^L | s_n = s) \quad (6)$$

$$\gamma_n(s', s) = p(s_n = s, y_n | s_{n-1} = s') \quad (7)$$

### Récursions forward-backward

$$\alpha_n(s) = \sum_{s'} \gamma_n(s', s) \alpha_{n-1}(s') \quad (8)$$

$$\beta_{n-1}(s') = \sum_s \gamma_n(s', s) \beta_n(s) \quad (9)$$

# Décodage MAP par bit

## Algorithme BCJR 3

### Calcul des probabilités de transitions

$$\gamma_n(s', s) = p(s_n = s, y_n | s_{n-1} = s') \quad (10)$$

$$= p(y_n | s', s) \cdot p(s | s') \quad (11)$$

$$(12)$$

avec

$$p(s | s') = \begin{cases} 0 & , \text{ si } \{s' \rightarrow s\} \text{ non valide} \\ \pi(u_n) & , \text{ sinon} \end{cases}$$

$$\gamma_n(s', s) = p(y_n | c_n(s', s)) \pi(u_n) \mathbb{1}_{s' \rightarrow s} \quad (13)$$

avec

$\pi(u_n)$  probabilité à priori de  $u_n$

$c_n(s', s)$  les bits associés à l'étiquette  $(s' \rightarrow s)$

# Décodage MAP par bit

## Algorithme BCJR 4

### Calcul des probabilités de transitions : cas Gaussien

$$y_n^{(m)} = c_n^{(m)} + b_n^{(m)}, b_n^{(m)} \sim \mathcal{N}(0, \sigma_b^2)$$

$$\gamma_n(s', s) \propto \pi(u_n) \exp \left( \frac{\sum_{m=1}^{n_c} |y_n^{(m)} - c_n^{(m)}(s', s)|^2}{2\sigma_b^2} \right) \mathbb{1}_{s' \rightarrow s}$$

### Initialisation (fermeture treillis)

$$\alpha_0(0) = 1 \quad , \quad \alpha_0(s) = 0 \text{ sinon} \quad (14)$$

$$\beta_L(0) = 1 \quad , \quad \beta_L(s) = 0 \text{ sinon} \quad (15)$$

# Décodage MAP par bit

Algorithme BCJR dans domaine logarithmique

## Définitions dans le domaine logarithmique

$$\begin{aligned}\tilde{\alpha}_n(s) &\triangleq \log(\alpha_n(s)) \\ &= \log \sum_{s'} \exp(\tilde{\alpha}_{n-1}(s') + \tilde{\gamma}_n(s', s))\end{aligned}\quad (16)$$

$$\begin{aligned}\tilde{\beta}_{n-1}(s') &\triangleq \log(\beta_n(s')) \\ &= \log \sum_s \exp(\tilde{\beta}_n(s) + \tilde{\gamma}_n(s', s))\end{aligned}\quad (17)$$

$$\tilde{\gamma}_n(s', s) \triangleq \log(\gamma_n(s', s))\quad (18)$$

$$\begin{aligned}L(u_n) &= \log \left( \sum_{S^+} \exp(\tilde{\alpha}_{n-1}(s') + \tilde{\gamma}_n(s', s) + \tilde{\beta}_n(s)) \right) \\ &\quad - \log \left( \sum_{S^-} \exp(\tilde{\alpha}_{n-1}(s') + \tilde{\gamma}_n(s', s) + \tilde{\beta}_n(s)) \right)\end{aligned}\quad (19)$$

# Décodage MAP par bit

Algorithme BCJR dans domaine logarithmique

## Opérateur $\max^*(x, y)$

$$\max(x, y) = \log \left( \frac{e^x + e^y}{1 + e^{-|x-y|}} \right) \quad (20)$$

$$\begin{aligned} \max^*(x, y) &\triangleq \log(e^x + e^y) \\ &= \max(x, y) - \log(1 + e^{-|x-y|}) \end{aligned} \quad (21)$$

$$\begin{aligned} \max^*(x, y, z) &\triangleq \log(e^x + e^y + e^z) \\ &= \max^*(\max^*(x, y), z) \end{aligned} \quad (22)$$

# Décodage MAP par bit

Algorithme BCJR dans domaine logarithmique

## Log-MAP (log-BCJR)

$$\tilde{\alpha}_n(s) = \max_{s'}^* (\tilde{\alpha}_{n-1}(s') + \tilde{\gamma}_n(s', s)) \quad (23)$$

$$\tilde{\beta}_{n-1}(s') = \max_s^* (\tilde{\beta}_n(s) + \tilde{\gamma}_n(s', s)) \quad (24)$$

$$\begin{aligned} L(u_n) = & \max_{s^+}^* \left( \tilde{\alpha}_{n-1}(s') + \tilde{\gamma}_n(s', s) + \tilde{\beta}_n(s) \right) \\ & - \max_{s^-}^* \left( \tilde{\alpha}_{n-1}(s') + \tilde{\gamma}_n(s', s) + \tilde{\beta}_n(s) \right) \end{aligned} \quad (25)$$

- Implémentation simplifiée par l'opérateur  $\max(\cdot)$  et utilisation de lookup table.
- stabilité numérique accrue.

# Décodage MAP par bit

Algorithme BCJR dans domaine logarithmique

## Log-MAP (log-BCJR) : cas Gaussien

$$\tilde{\gamma}_n(s', s) = \log(\gamma_n(s', s)) = -\log(4\pi\sigma^2) - \frac{1}{2\sigma^2} \sum_{m=1}^{n_c} |y_n^{(m)} - c_n^{(m)}(s', s)|^2$$

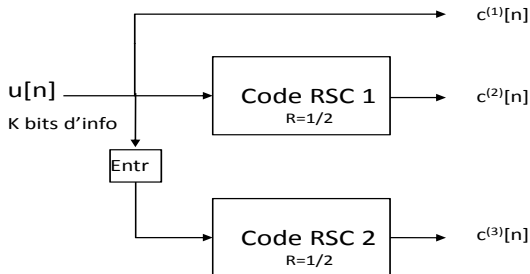
en se référant au critère MAP final, la constante peut-être supprimée.

## Max-Log-MAP

- Remplacer l'opérateur  $\max^*(.)$  par l'opérateur  $\max(.)$  seul.
- Complexité diminuée, mais perte de performances (raisonnable).  
⇒ décodeur implémenté en pratique

# Turbo-codes parallèles

## Structure du codeur



**FIGURE:** Structure d'un turbo code parallèle : chaque code est un code récursif systématique. Ici  $R = 1/2$  pour chaque code constituant.

- $K$  bits d'information sont codés avec le codeur RSC 1,
- les bits d'info. sont entrelacés et codés par le codeur RSC 2,
- Seule la partie redondance est prise en compte sur le codeur RSC 2.



# Turbo-codes parallèles

## Structure du codeur : exemple UMTS

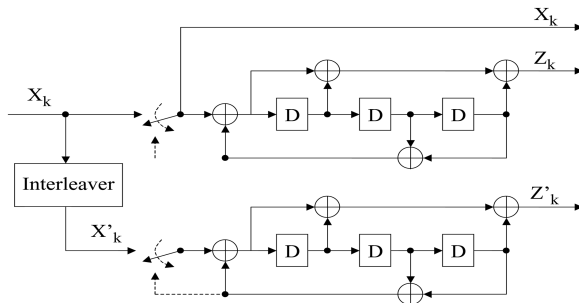


FIGURE: Structure d'un turbo code parallèle pour l'UMTS (3GPP)

# Turbo-codes parallèles

Notion d'information extrinsèque 1/3

Cas d'un codeur récursif systématique de rendement  $R = 1/n_c$

on supposera que  $c_n^{(1)} = u_n$

$$L(u_n) = \log \left[ \frac{\sum_{S^+} p(s_{n-1}=s', s_n=s, \mathbf{y})}{\sum_{S^-} p(s_{n-1}=s', s_n=s, \mathbf{y})} \right] \quad (26)$$

$$= L_c(u_n) + L_a(u_n) + L_{ext}(u_n) \quad (27)$$

avec

- Info. canal :  $L_c(u_n) = \log \left( \frac{p(y_n^{(1)} | u_n=+1)}{p(y_n^{(1)} | u_n=-1)} \right)$
- Info. a priori :  $L_a(u_n) = \log \left( \frac{p(u_n=+1)}{p(u_n=-1)} \right)$
- Info. extrinsèque :

$$\begin{aligned} L_{ext}(u_n) &= \log \left[ \frac{\sum_{S^+} \alpha_{n-1}(s') \prod_{k=2}^{n_c} p(y_n^{(k)} | c_n^{(k)}(s', s)) \beta_n(s)}{\sum_{S^-} \alpha_{n-1}(s') \prod_{l=2}^{n_c} p(y_n^{(l)} | c_n^{(l)}(s', s)) \beta_n(s)} \right] \\ &= \log \left[ \frac{\sum_{S^+} \alpha_{n-1}(s') \gamma_n^e(s', s) \beta_n(s)}{\sum_{S^-} \alpha_{n-1}(s') \gamma_n^e(s', s) \beta_n(s)} \right] \end{aligned} \quad (28)$$

# Turbo-codes parallèles

## Notion d'information extrinsèque 2/3

### Info. extrinsèque (domaine logarithmique)

$$\begin{aligned}
 L_{\text{ext}}(u_n) &= \max_{s^+}^* \left( \tilde{\alpha}_{n-1}(s') + \tilde{\gamma}_n^e(s', s) + \tilde{\beta}_n(s) \right) \\
 &\quad - \max_{s^-}^* \left( \tilde{\alpha}_{n-1}(s') + \tilde{\gamma}_n^e(s', s) + \tilde{\beta}_n(s) \right) \\
 \tilde{\gamma}_n^e(s', s) &= \log(\gamma_n^e(s', s))
 \end{aligned}$$

### Correspondance entre domaine probabilité vers domaine logarithmique : $L(u_n) \iff p(u_n)$

$$\begin{aligned}
 p(u_n) &= \frac{\exp(L_a(u_n)/2)}{1 + \exp(L_a(u_n))} \exp(u_n L_a(u_n)/2) \\
 &= \Lambda_n \exp(u_n L_a(u_n)/2)
 \end{aligned} \tag{29}$$

# Turbo-codes parallèles

## Notion d'information extrinsèque 3/3

### Cas Gaussien (domaine logarithmique)

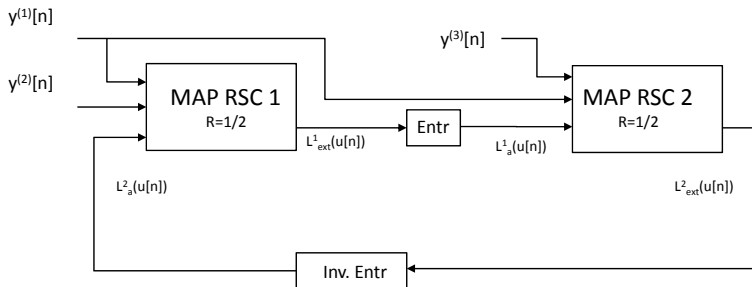
- **Info. canal** :  $L_c(u_n) = \frac{2}{\sigma^2} y_n^{(1)}$ ,
- **Métriques de branches** :

$$\begin{aligned}
 \tilde{\gamma}_n(s', s) &= u_n \frac{L_a(u_n)}{2} + \frac{1}{2\sigma^2} \sum_{m=1}^{n_c} |y_n^{(m)} - c_n^{(m)}(s', s)|^2 \\
 &= u_n \frac{L_a(u_n)}{2} + \sum_{m=1}^{n_c} c_n^{(m)}(s', s) \frac{y_n^{(m)}}{\sigma^2} \\
 &= u_n \frac{L_a(u_n)}{2} + \sum_{m=1}^{n_c} c_n^{(m)}(s', s) \frac{L_c(y_n^{(m)})}{2} \quad (30)
 \end{aligned}$$

$$\tilde{\gamma}_n^e(s', s) = \sum_{m=2}^{n_c} c_n^{(m)}(s', s) \frac{L_c(y_n^{(m)})}{2} \quad (31)$$

# Turbo-codes parallèles

## Décodeur 1/2



- Les décodeurs MAP des deux codes constitutants vont s'échanger une information extrinsèque de manière itérative relative aux bits d'information communs.

# Turbo-codes parallèles

## Décodeur 2/2

- Critères MAP au deux décodeurs à l'itération ( $\ell$ ) :

$$\begin{aligned} L_{RSC_1}^{(\ell)}(u_n) &= \frac{2}{\sigma^2} y_n^{(1)} + L_{a,1}^{(\ell-1)}(u_n) + L_{e,1}^{(\ell)}(u_n) \\ &= \frac{2}{\sigma^2} y_n^{(1)} + L_{e,2}^{(\ell-1)}(u_{\pi^{-1}(n)}) + L_{e,1}^{(\ell)}(u_n) \end{aligned} \quad (32)$$

$$L_{RSC_2}^{(\ell)}(u_{\pi(n)}) = \frac{2}{\sigma^2} \pi(y_{\pi(n)}^{(1)}) + L_{e,1}^{(\ell-1)}(u_{\pi(n)}) + L_{e,2}^{(\ell)}(u_{\pi(n)}) \quad (33)$$

avec  $\pi(\cdot)$  et  $\pi^{-1}$  représentent les opérations d'entrelacement et de désentrelacement

# Turbo-codes parallèles

## Performances

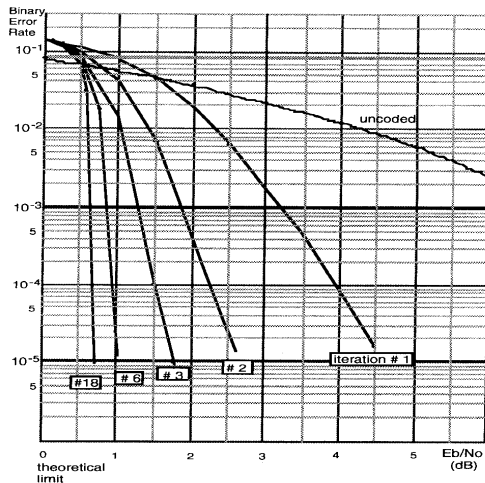
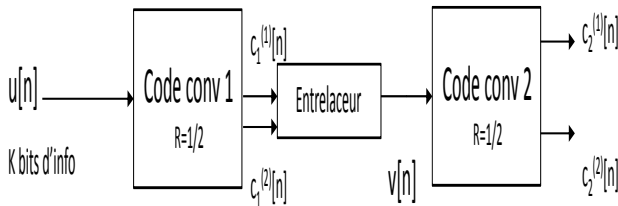


Fig. 9. BER given by iterative decoding ( $p = 1, \dots, 18$ ) of a rate  $R = 1/2$  encoder, memory  $\nu = 4$ , generators  $G_1 = 37, G_2 = 21$ , with interleaving  $256 \times 256$ .

# Turbo-codes série

## Structure du codeur

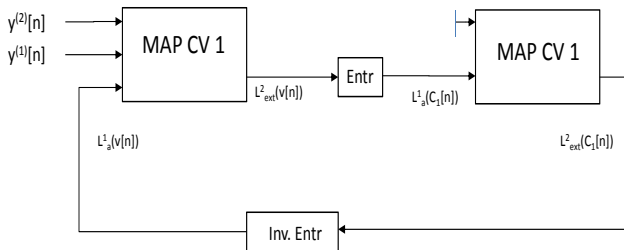


- $K$  bits d'information sont codés avec le codeur 1 (code externe),
- les bits codés sont alors entrelacés et puis codés par le codeur 2 (code interne),
- les deux décodeurs associés ne fonctionneront pas forcément de la même manière que pour le cas parallèle,
- seul le codeur 2 doit être récursif pour avoir gain d'entrelacement



# Turbo-codes série

## Structure du décodeur 1/2



### Décodeur code 1

- Idem au décodage d'un bloc du cas parallèle.

# Turbo-codes série

## Structure du décodeur 2/2

### Décodeur code 2

- Critère MAP modifié :

$$L_1(c_n^{(m)}) = \max_{\mathcal{C}^+}^* \left( \tilde{\alpha}_{n-1}(s') + \tilde{\gamma}_n(s', s) + \tilde{\beta}_n(s) \right) - \max_{\mathcal{C}^-}^* \left( \tilde{\alpha}_{n-1}(s') + \tilde{\gamma}_n(s', s) + \tilde{\beta}_n(s) \right) \quad (34)$$

$$= L_2^e(c_n^{(m)}) + L_1^e(c_n^{(m)}) \quad (35)$$

$$\tilde{\gamma}_n(s', s) = \sum_{m=1}^{n_c} c_n^{(m)}(s', s) \frac{L_2^e(c_n^{(m)}(s', s))}{2} \quad (36)$$

avec

$$\mathcal{C}^+ = \{(s', s) \text{ où } (s_{n-1} = s') \mapsto (s_n = s) | c_n^{(m)} = +1\}$$

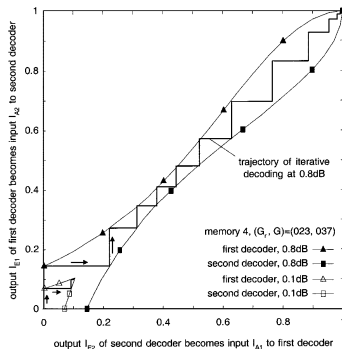
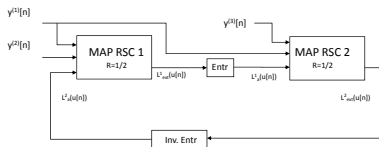
$$\mathcal{C}^- = \{(s', s) \text{ où } (s_{n-1} = s') \mapsto (s_n = s) | c_n^{(m)} = -1\}$$

# Analyse EXIT charts

## Présentation générale

### Motivations

- Analyser le comportement d'un turbo-récepteur pour pouvoir prédire les performances en fonction du rapport signal à bruit.



# Analyse EXIT charts

## Présentation générale

### Idée :

- Pouvoir analyser le comportement entrée-sortie de chaque bloc SISO indépendamment : on cherche à déterminer le comportement moyen en sortie par rapport au comportement moyen en entrée suivant une figure de mérite donnée,
- Ce comportement en entrée est fonction de l'info. extrinsèque entrée et des probabilités de transitions du canal : le canal est connu mais nécessité de modéliser le comportement statistique des informations extrinsèques,
- La figure de mérite en entrée sera associée au info. a priori entrantes (extrinsèques des autres blocs),
- de même, la figure de mérite sortante sera associée aux info extrinsèques fournies par le bloc SISO,
- pour simplifier l'analyse, utiliser une mesure de performance mono-dimensionnelle (scalaire) pour caractériser le processus de décodage itératif

# Analyse EXIT charts

## Présentation générale

### EXtrinsic Information Transfer Charts :

- Information mutuelle entre un log-rapport de vraisemblance  $L$  et le bit émis  $C$  (considérés comme variables aléatoires) :

$$I(L; C) = \frac{1}{2} \sum_{c=\pm 1} \int_{\mathbb{R}} f(l|c) \log_2 \left( \frac{2f(l|c)}{f(l|c=+1)+f(l|c=-1)} \right) dl$$

- Hypothèses :

- Modulation BPSK, entrelacement parfait,
- $C$  variable binaire de loi uniforme,
- Symétrie de la densité :  $f(l|C = -1) = f(-l|C = +1)$ ,
- Consistance de la densité (symétrie exponentielle) :  
 $f(-l|C = c) = f(l|C = c)e^{-c \cdot l}$

$\Downarrow$

$$\begin{aligned} I(L; C) &= 1 - \mathbb{E}_{L|C=+1}(\log_2(1 + e^{-l})) \\ &= 1 - \int_{\mathbb{R}} f(l|c = +1) \log_2(1 + e^{-l}) dv \end{aligned}$$

# Analyse EXIT charts

Information mutuelle d'une densité consistante : estimation.

## Estimation

- Utilisation du mot de code nul :

$$I(L; C) \approx 1 - \frac{1}{N} \sum_n \log_2 (1 + e^{-l_n})$$

- Mot de codes indifférents et connus :

$$I(L; C) \approx 1 - \frac{1}{N} \sum_n \log_2 (1 + e^{-c_n l_n})$$

- Mot de codes indifférents et inconnus :

$$I(L; C) \approx 1 - \frac{1}{N} \sum_n \mathcal{H}_b \left( \frac{e^{+|l_n|/2}}{e^{+|l_n|/2} + e^{-|l_n|/2}} \right)$$

$$\mathcal{H}_b(p) = -p \log_2(p) - (1 - p) \log_2(1 - p)$$

# Analyse EXIT charts

Information a priori et extrinsèque

- **Modèle Gaussien des messages a priori :**

$$l = m.c + b, \quad b \sim \mathcal{N}(0, \sigma^2 = 2m), \quad c = \pm 1$$

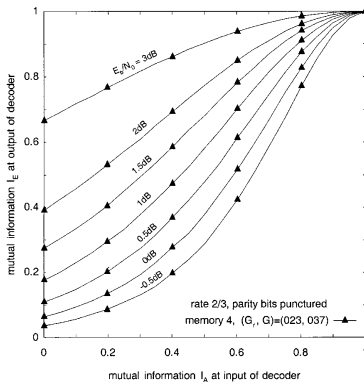
- **Information mutuelle associée :**

$$I(L; C) = 1 - \frac{1}{\sqrt{2\pi\sigma^2}} \int_{\mathbb{R}} \exp\left(-\frac{(l - \sigma^2/2)^2}{2\sigma^2}\right) \log_2(1 + e^{-l}) dl$$

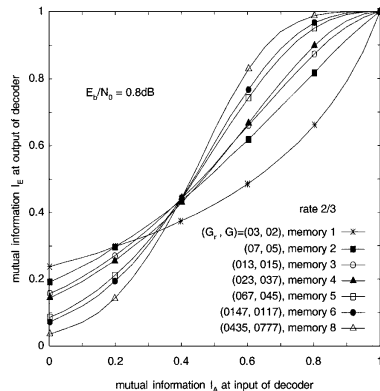
- **Information mutuelle extrinsèque :** Elle est évaluée **sans approximation Gaussienne** à l'aide des histogrammes des densités en sortie ou à l'aide des estimateurs précédents.

# Analyse EXIT charts

## Concaténation parallèle 1/3



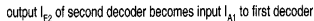
Influence de  $E_b/N_0$



influence de la mémoire



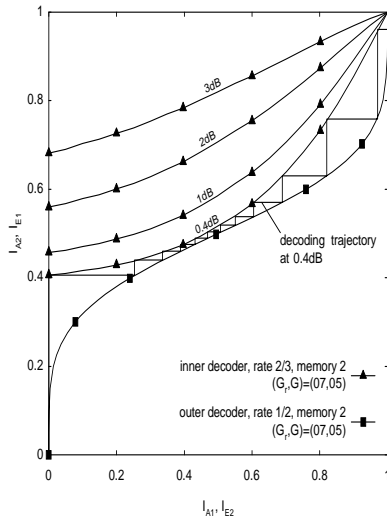
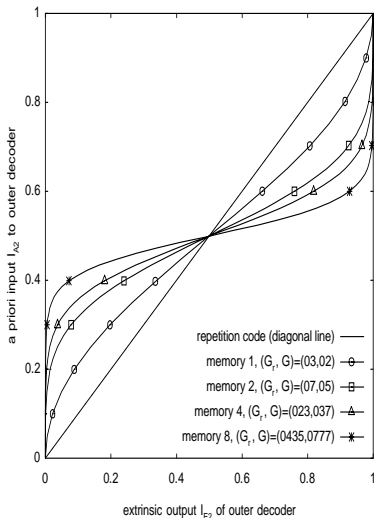




$$P_b \approx \operatorname{erfc}\left(\frac{1}{2\sqrt{2}}\sqrt{8R\frac{E_b}{N_0} + J^{-1}(I_A)^2 + J^{-1}(I_E)^2}\right)$$

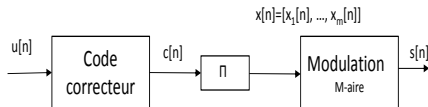
# Analyse EXIT charts

## Concaténation série



# Analyse EXIT charts

## Modulations codées à bits entrelacés



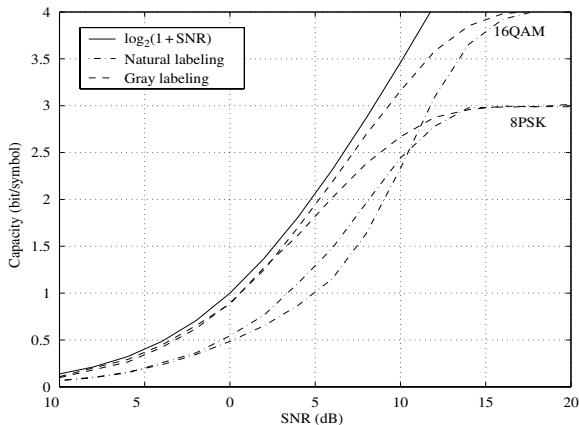
### Bit-Interleaved Coded Modulation

- système de transmission à haute efficacité spectrale : constellation  $M$ -aire  $\mathcal{S}$  avec  $M = 2^m$ .
- Capacité atteignable dépend du mapping utilisé :

$$C = m - \frac{1}{2} \sum_{k=0}^{m-1} \sum_{c=0}^1 \mathbb{E} \left( \log_2 \left( \frac{\sum_{s_j \in \mathcal{S}} p(y|s_j)}{\sum_{s_j \in \mathcal{S}_c^k} p(y|s_j)} \right) \right)$$

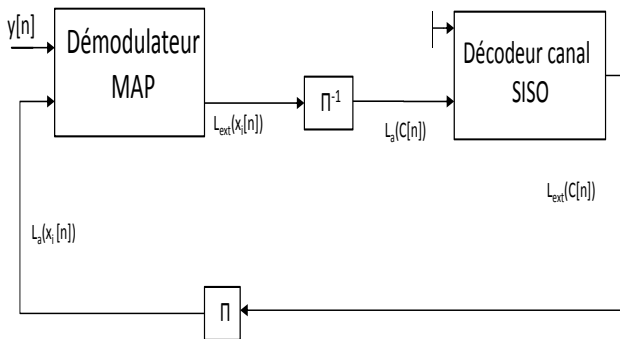
# Analyse EXIT charts

## Modulations codées à bits entrelacés



# Analyse EXIT charts

## Démodulation et décodage itératifs



# Analyse EXIT charts

## Démodulateur MAP

### Cas générale

- Les vecteurs binaires  $x[n] = [x_1[n] \cdots x_m[n]]$  sont “mappés” sur des symboles  $s[n] \in \mathcal{S}$ .
- Log-rapport de vraisemblance bit :

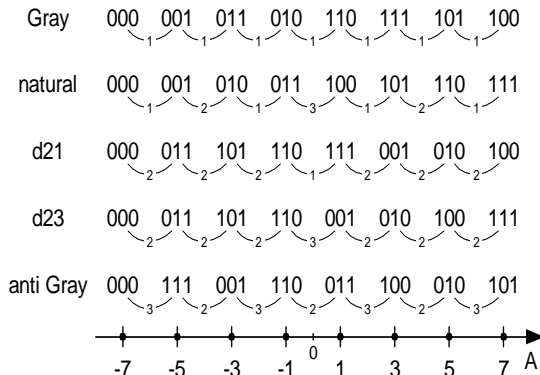
$$\begin{aligned}
 L(x_i[n]) &= \log \left( \frac{\sum_{s[n] \in \mathcal{S}_0^i} \exp \left( -\frac{\|y[n] - s[n]\|^2}{2\sigma^2} \right) \prod_m \pi(x_m[n])}{\sum_{s[n] \in \mathcal{S}_1^i} \exp \left( -\frac{\|y[n] - s[n]\|^2}{2\sigma^2} \right) \prod_m \pi(x_m[n])} \right) \\
 &= L_a(x_i[n]) + L_e(x_i[n])
 \end{aligned}$$

- Log-rapport de vraisemblance extrinsèque bit :

$$L(x_i[n]) = \log \left( \frac{\sum_{s[n] \in \mathcal{S}_0^i} \exp \left( -\frac{\|y[n] - s[n]\|^2}{2\sigma^2} \right) \prod_{m; m \neq i} \pi(x_m[n])}{\sum_{s[n] \in \mathcal{S}_1^i} \exp \left( -\frac{\|y[n] - s[n]\|^2}{2\sigma^2} \right) \prod_{m; m \neq i} \pi(x_m[n])} \right) \quad (37)$$

# Analyse EXIT charts

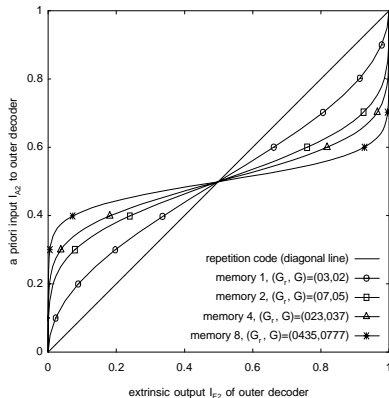
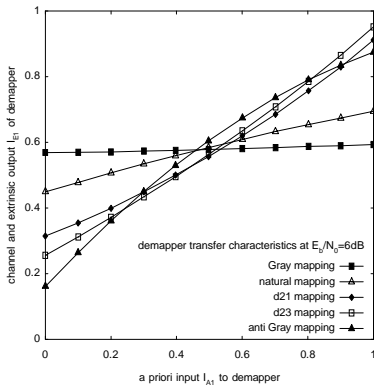
## Démodulation et décodage itératifs : analyse EXIT





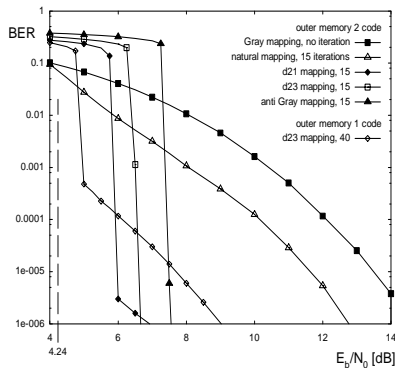
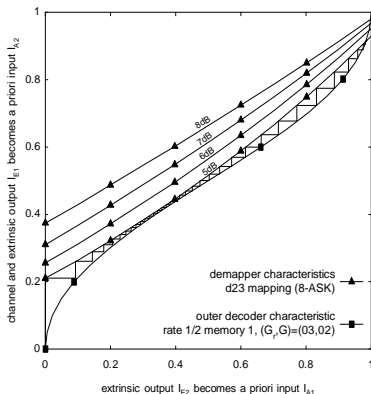
# Analyse EXIT charts

## Démodulation et décodage itératifs : analyse EXIT



# Analyse EXIT charts

## Démodulation et décodage itératifs : analyse EXIT



⇒ Pas de gain en décodage itératif pour le mapping de Gary

# Analyse EXIT charts

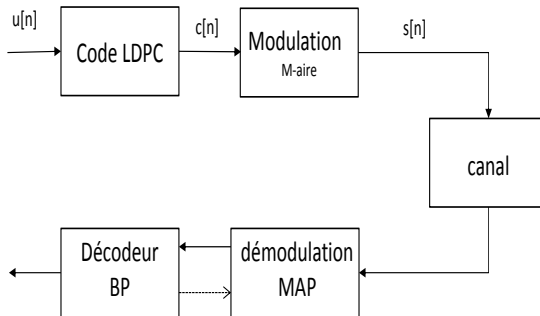
## Démodulateur MAP avec Mapping de Gray

### Cas du Mapping de Gray : pas d'itérations

$$\begin{aligned}
 L(x_i[n]) &= \log \left( \frac{\sum_{s[n] \in \mathcal{S}_0^i} \exp \left( -\frac{\|y[n] - s[n]\|^2}{2\sigma^2} \right)}{\sum_{s[n] \in \mathcal{S}_1^i} \exp \left( -\frac{\|y[n] - s[n]\|^2}{2\sigma^2} \right)} \right) \\
 &= \max_{s[n] \in \mathcal{S}_0^i} * \left( -\frac{\|y[n] - s[n]\|^2}{2\sigma^2} \right) \\
 &\quad - \max_{s[n] \in \mathcal{S}_1^i} * \left( -\frac{\|y[n] - s[n]\|^2}{2\sigma^2} \right) \\
 &= \max_{s[n] \in \mathcal{S}_0^i} * \left( \frac{\operatorname{Re}(y)\operatorname{Re}(s) + \Im(y)\Im(s)}{\sigma^2} \right) \\
 &\quad - \max_{s[n] \in \mathcal{S}_1^i} * \left( \frac{\operatorname{Re}(y)\operatorname{Re}(s) + \Im(y)\Im(s)}{\sigma^2} \right)
 \end{aligned}$$

# BICM LDPC

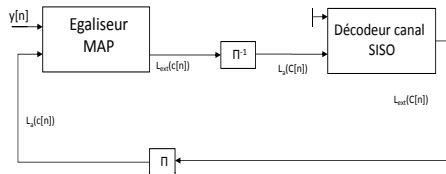
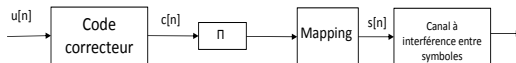
## Principe générale



- pas d'entrelaceur nécessaire, contrairement au cas codes en treillis,
- pas d'itération nécessaire avec le démappeur si mapping de Gray

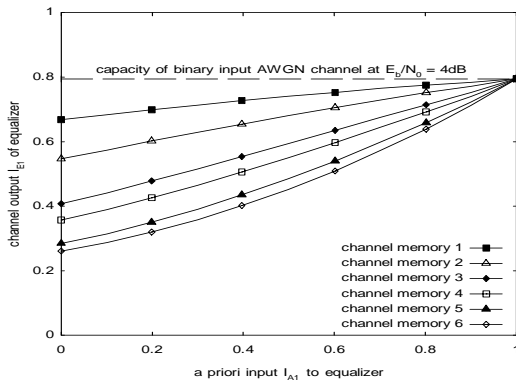
# Turbo-égalisation

## Principe générale



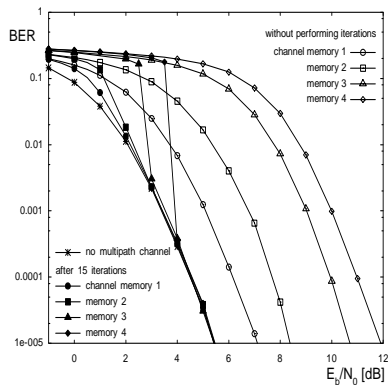
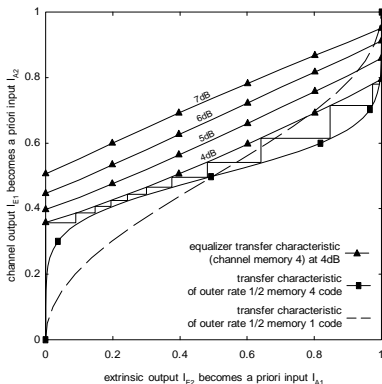
# Turbo-égalisation

## Analyse EXIT d'un canal



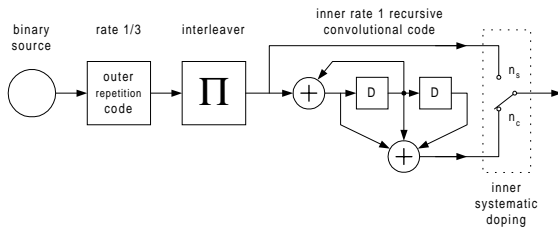
# Turbo-égalisation

## Analyse EXIT en turbo-égalisation



# Codes concaténés en série

Des turbo-codes aux codes LDPC 1/2

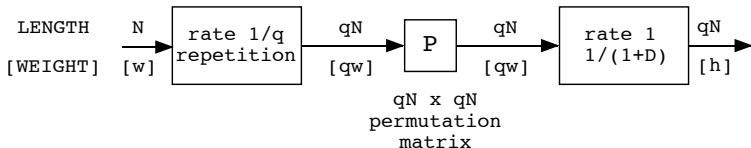


Structure RA like proposée par S. ten Brink'00



# Codes concaténés en série

Des turbo-codes aux codes LDPC 2/2



Codes RA originaux proposés par Divsalar, Allerton 98

# Bibliographie

- A. Glavieux and all, *Channel coding in communication networks : from theory to turbocodes*, Volume 3 de Digital Signal Image Processing Series, John Wiley Sons, 2007.
- Claude Berrou and all, *Codes and Turbo Codes*, Collection IRIS Series, IRIS International, Springer, 2010.
- W.E. Ryan, Shu Lin, *Channel codes : classical and modern*, Cambridge University Press, 2009.
- Shu Lin, Daniel J. Costello, *Error control coding : fundamentals and applications*, Édition 2, Pearson-Prentice Hall, 2004.
- T. Richardson, R. Urbanke, *Modern coding theory*, Cambridge University Press, 2008.